

# Diseño de control robusto ante incertidumbre pasiva mediante $\mu$ -síntesis en un circuito eléctrico

© 2020, Antonio Sala Piqueras, Universitat Politècnica de València. Todos los derechos reservados.

Presentación en vídeo:

<http://personales.upv.es/asala/YT/V/paselm1.html>,

<http://personales.upv.es/asala/YT/V/paselm12.html>.

El presente código ejecutó sin errores en Matlab R2020a

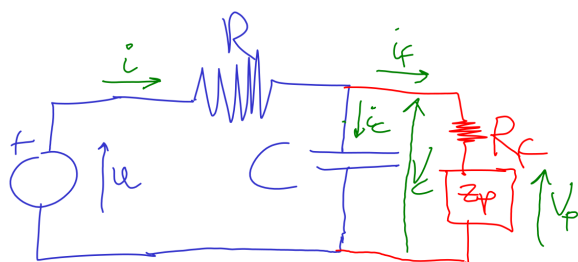
**Objetivos:** Modelar un sistema con una impedancia incierta. Incorporar a un modelo de la Robust Control Toolbox el conocimiento específico de que dicha impedancia es pasiva. Diseñar un controlador que obtenga las máximas prestaciones posibles en bucle cerrado (ancho banda error) dada esa incertidumbre.

## Tabla de Contenidos

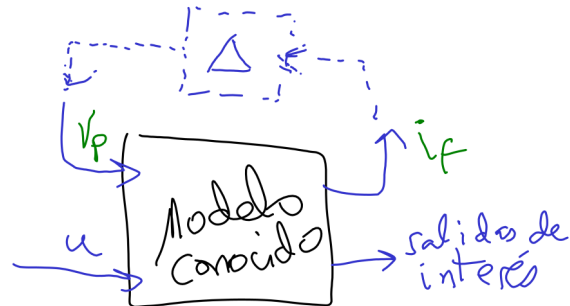
Modelado físico.....	1
Ejemplos sustituyendo valores de impedancia.....	4
Modelado de incertidumbre con Robust Control Toolbox.....	6
Mu-síntesis con Planta generalizada ante incertidumbre pasiva.....	8
Conclusiones.....	12

## Modelado físico

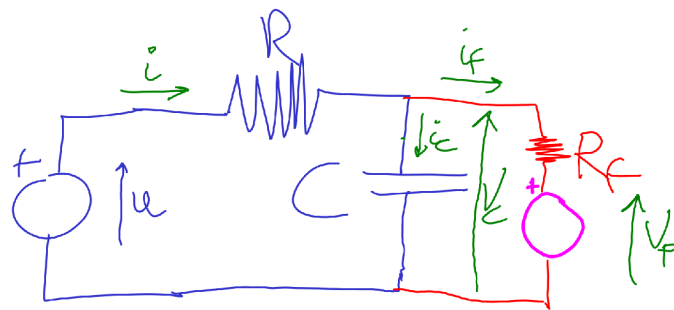
Consideremos el circuito RC siguiente (modelo "nominal" en azul) sujeto a una impedancia de fugas (rojo) que tiene un componente resistivo  $R_f$  y posiblemente otros componentes pasivos  $z_p$  no modelados ( $z_p \equiv \Delta$ ).



La incertidumbre debe ser modelada "fuera" de las ecuaciones conocidas:



Ello equivale a escribir las ecuaciones del "modelo conocido" como si  $V_p$  fuera una fuente de tensión ideal  $V_p$  arbitraria, a falta de añadir (en ecuaciones "fuera" de este modelo) la relación entre  $V_p$  e  $i_f$  (que no podemos dado que la impedancia es desconocida).



```
R=20;R_f=50;C=1e-3;
syms u i i_f V_p V_c i_c dV_c real
Modelo_conocido=[u==R*i+V_c; dV_c==i_c/C; ...
    i==i_c+i_f; V_c==R_f*i_f+V_p]
```

$$\begin{aligned} \text{Modelo\_conocido} = \\ \begin{cases} u = V_c + 20i \\ dV_c = 1000i_c \\ i = i_c + i_f \\ V_c = V_p + 50i_f \end{cases} \end{aligned}$$

\*Obviamente, falta la ecuación  $V_p = z_p \cdot i_f$ , que, desafortunadamente, no podemos incorporar porque  $z_p$  es desconocido.

De las cuatro ecuaciones, suponiendo conocidos estado  $V_c$  y entradas  $u$  y  $V_p$ , podemos despejar el resto de señales:

```
sol=solve(Modelo_conocido,i,i_f,dV_c,i_c);
sol.i
```

```
ans =
```

$$\frac{u}{20} - \frac{V_c}{20}$$

```
sol.i_f
```

ans =

$$\frac{V_c}{50} - \frac{V_p}{50}$$

```
sol.dV_c %esto será la ecuación de estado
```

$$ans = 20V_p - 70V_c + 50u$$

```
sol.i_c
```

ans =

$$\frac{V_p}{50} - \frac{7V_c}{100} + \frac{u}{20}$$

```
estados=V_c;
entradas_generalizadas=[V_p,u];
```

La ecuación de estado del "modelo conocido" será determinada por las matrices:

```
A=eval(jacobian(sol.dV_c,estados))
```

$$A = -70$$

```
B=eval(jacobian(sol.dV_c,entradas_generalizadas))
```

$$B = \begin{matrix} 1 \times 2 \\ 20 & 50 \end{matrix}$$

La ecuación de salida hacia la incertidumbre ( $i_f$ ) será:

```
C_f=eval(jacobian(sol.i_f,estados))
```

$$C_f = 0.0200$$

```
D_f=eval(jacobian(sol.i_f,entradas_generalizadas))
```

$$D_f = \begin{matrix} 1 \times 2 \\ -0.0200 & 0 \end{matrix}$$

Como la variable controlada de interés será la tensión del condensador, la extraeremos con:

```
Cperf=1;Dperf=[0 0];
```

Y formamos la ecuación de salida completa:

```
C=[C_f;Cperf];
D=[D_f;Dperf];
```

Con lo que construimos la parte "conocida" del modelo:

```
sys=ss(A,B,C,D);  
sys.InputName={'V_p','u'};sys.OutputName={'i_f','V_c'};
```

### Ejemplos sustituyendo valores de impedancia

Un modelo extremo donde  $z_p = 0$  (cortocircuito) sería:

```
sysconF1=lft(0,sys);  
zpk(sysconF1)
```

```
ans =  
  
From input "u" to output "V_c":  
 50  
-----  
(s+70)  
  
Continuous-time zero/pole/gain model.
```

Otro modelo extremo con  $z_p \rightarrow \infty$  (circuito abierto, sin fugas, esto sería el modelo "nominal" posiblemente) es:

```
syssinFugas=lft(2e6,sys);  
zpk(syssinFugas)
```

```
ans =  
  
From input "u" to output "V_c":  
 50  
-----  
(s+50)  
  
Continuous-time zero/pole/gain model.
```

Una carga inductiva en  $z_p$  se modelaría con:

```
L=8e-1;s=tf('s');  
sysconL=lft(L*s+1e-2,sys);  
zpk(sysconL)
```

```
ans =  
  
From input "u" to output "V_c":  
 50 (s+62.51)  
-----  
(s^2 + 112.5s + 4376)  
  
Continuous-time zero/pole/gain model.
```

```
eig(sysconL)
```

```
ans = 2x1 complex  
 -56.2563 +34.7974i  
 -56.2563 -34.7974i
```

Una carga capacitiva pura en  $z_p$  se modelaría con:

```
C2=1e-3;
sysconC=lft(1/(C2*s),sys);
zpk(sysconC)
```

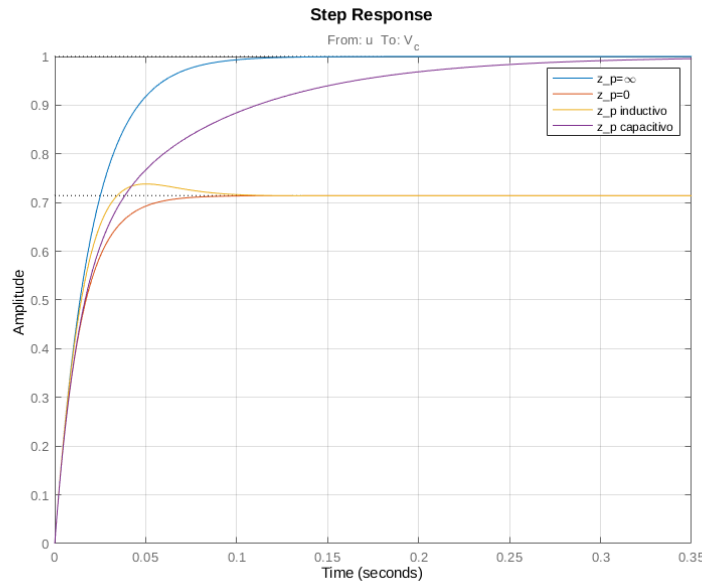
```
ans =

From input "u" to output "V_c":
50 (s+20)
-----
(s+12.98) (s+77.02)

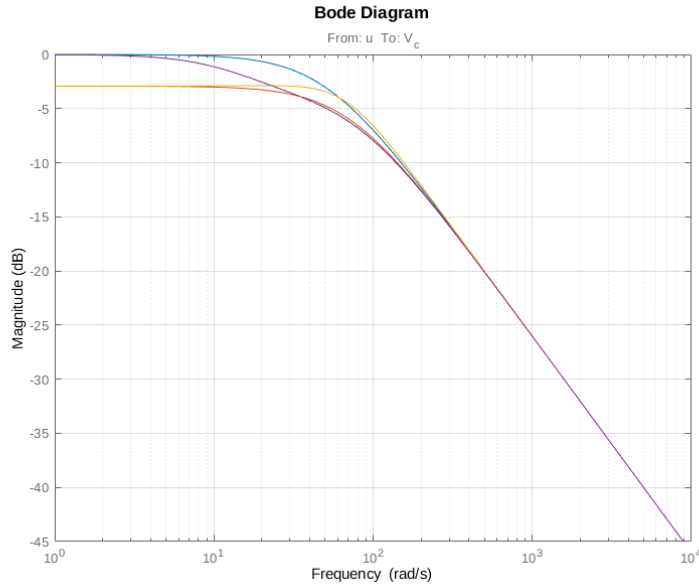
Continuous-time zero/pole/gain model.
```

Sus respuestas son:

```
step(sysinFugas,sysconF1,sysconL, sysconC), grid on
legend('z_p=\infty','z_p=0','z_p inductivo','z_p capacitivo')
```



```
bodemag(sysinFugas,sysconF1,sysconL,sysconC), grid on
```



## Modelado de incertidumbre con Robust Control Toolbox

```
delta=ultidyn('imped_fuga_z_p',[1 1], 'Type', 'PositiveReal', 'Bound', 0)
```

```
delta =
Uncertain LTI dynamics "imped_fuga_z_p" with 1 outputs, 1 inputs, and positive real bound of 0.
```

```
delta.NominalValue %el valor nominal es una resistencia de 1 Ohm
```

```
ans =
```

```
D =
    u1
y1   1
```

```
Name: imped_fuga_z_p
Static gain.
```

```
sysconFugas=lft(delta,sys)
```

```
sysconFugas =
```

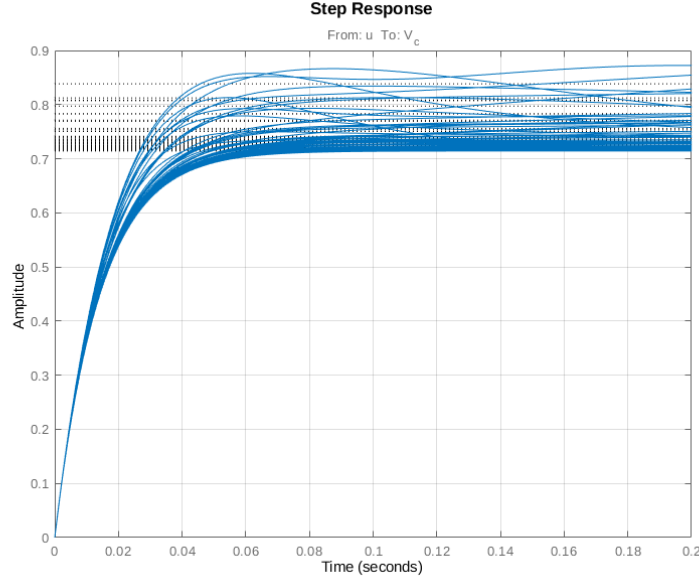
```
Uncertain continuous-time state-space model with 1 outputs, 1 inputs, 1 states.
```

```
The model uncertainty consists of the following blocks:
```

```
imped_fuga_z_p: Uncertain 1x1 LTI, positive real bound = 0, 1 occurrences
```

```
Type "sysconFugas.NominalValue" to see the nominal value, "get(sysconFugas)" to see all properties, and "s
```

```
Plantas=usample(sysconFugas,200);
step(Plantas,.2), grid on
```



Obviamente, el sistema es estable dado que la red RC ya era estrictamente pasiva, y la interconexión física de sistemas pasivos es pasiva.

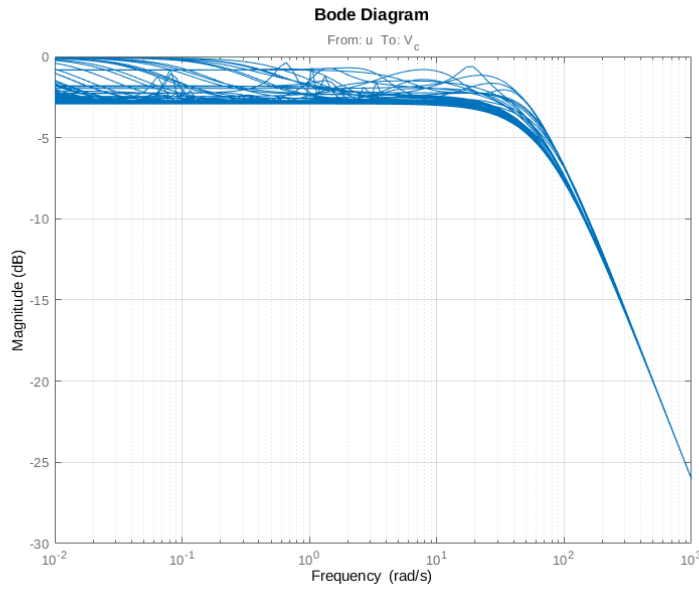
```
robstab(sysconFugas)
```

```
ans = struct with fields:
    LowerBound: 1.0269
    UpperBound: 1.0290
    CriticalFrequency: 0
```

```
wcgain(sysconFugas)
```

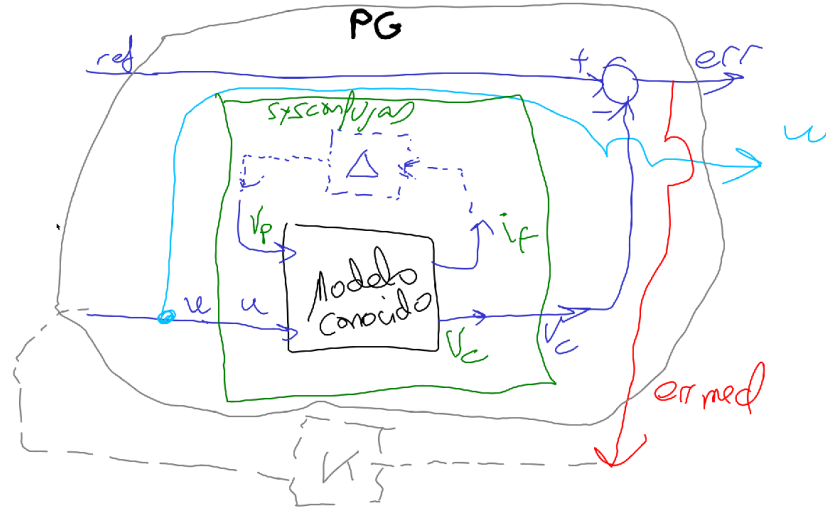
```
ans = struct with fields:
    LowerBound: 1.0000
    UpperBound: 1.0021
    CriticalFrequency: 0
```

```
bodemag(Plantas,logspace(-2,3,100)), grid on
```



## Mu-síntesis con Planta generalizada ante incertidumbre pasiva

Planta Generalizada para control de 1 grado de libertad ( $\equiv$  rechazo de perturbación a la salida):



$$\begin{pmatrix} err \\ u \\ err_{medido} \end{pmatrix} = \begin{pmatrix} 1 & -sysconFugas \\ 0 & 1 \\ 1 & -sysconFugas \end{pmatrix} \begin{pmatrix} ref \\ u \end{pmatrix}$$

```
PG=[ [1;0;1]  [-1;0;-1]*sysconFugas+[0;1;0]];
PG.InputName={'ref','u'};
PG.OutputName={'error','u','errmed'};
PG
```

```
PG =
```

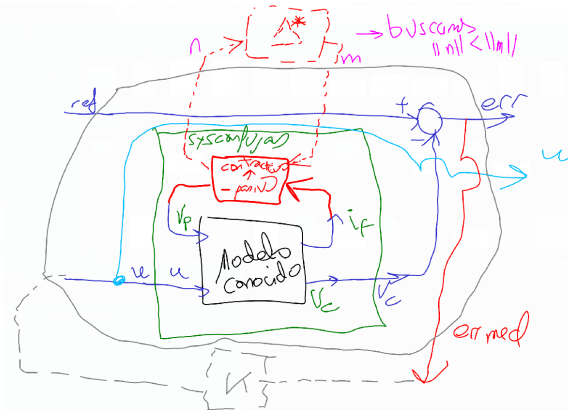
Uncertain continuous-time state-space model with 3 outputs, 2 inputs, 1 states.

The model uncertainty consists of the following blocks:

imped\_fuga\_z\_p: Uncertain 1x1 LTI, positive real bound = 0, 1 occurrences

Type "PG.NominalValue" to see the nominal value, "get(PG)" to see all properties, and "PG.Uncertainty" to

Internamente, plantea un problema de minimización de norma, usando la transformación a contractivo de forma transparente al usuario:



Construiremos una planta generalizada ponderada, requiriendo prestaciones en el error (2% error de posición, 2.5 pico resonancia máxima error, maximizar ancho de banda) y cota máxima de  $u = 2 * \text{referencia}$ .

```
bw=61.5; %subir o bajar hasta que musyn devuelva cota de 1.  
Plantilla_err=makeweight(0.02,bw,2.5);  
Werr=1/Plantilla_err;  
CotaU=2;  
Wu=1/CotaU;  
PGPond=blkdiag(Werr,Wu,1)*PG;  
[K,Clperf]=musyn(PGPond,1,1);Clperf
```

D-K ITERATION SUMMARY:

Iter	Robust performance			Fit order
	K Step	Peak MU	D Fit	
1	1.104	1.099	1.099	0
2	1.006	1.005	1.005	0
3	0.9973	0.9973	1.002	0
4	1.001	1	1.001	0

Best achieved robust performance: 0.997

Clperf = 0.9973

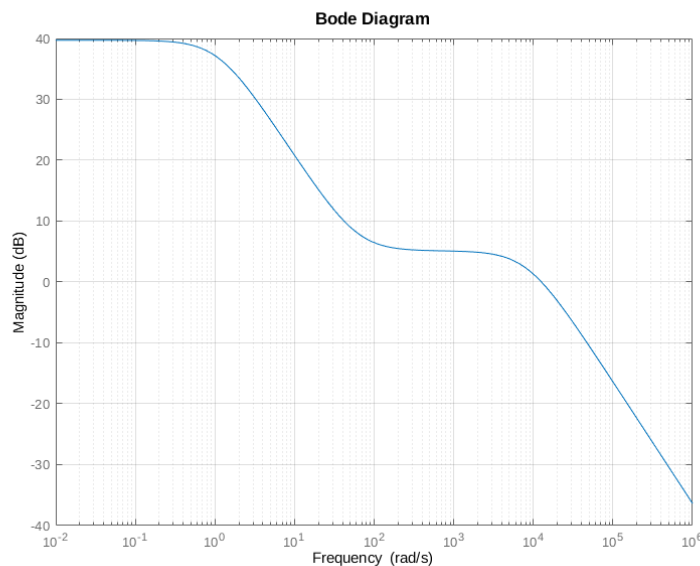
```
zpk(K)
```

```
ans =
```

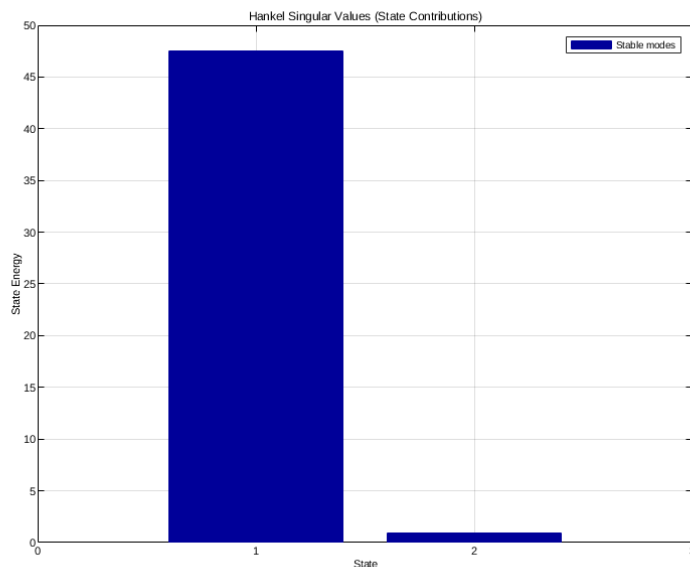
```
15210 (s+60.52)  
-----  
(s+1.128) (s+8433)
```

Continuous-time zero/pole/gain model.

```
bodemag(K), grid on
```



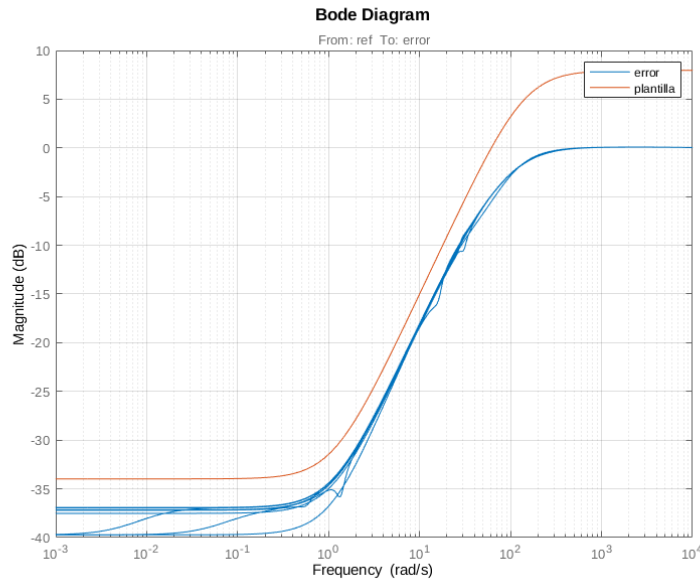
```
hsvd(K) %podría seguramente reducirse a un primer orden... es "casi" un PI.
```



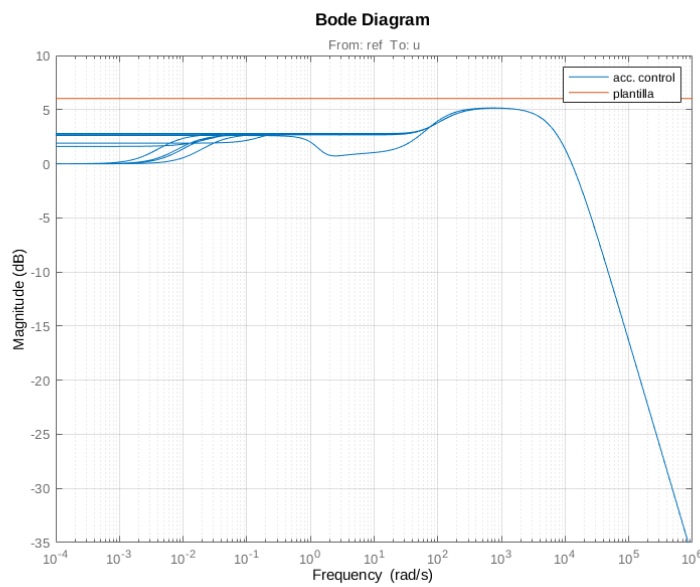
```
CL_noponderado=lft(PG,K);  
CL_ponderado=lft(PGPond,K);
```

Evaluemos la respuesta en frecuencia de bucle cerrado:

```
bodemag(CL_noponderado(1,:),Plantilla_err), grid on, legend('error','plantilla')
```

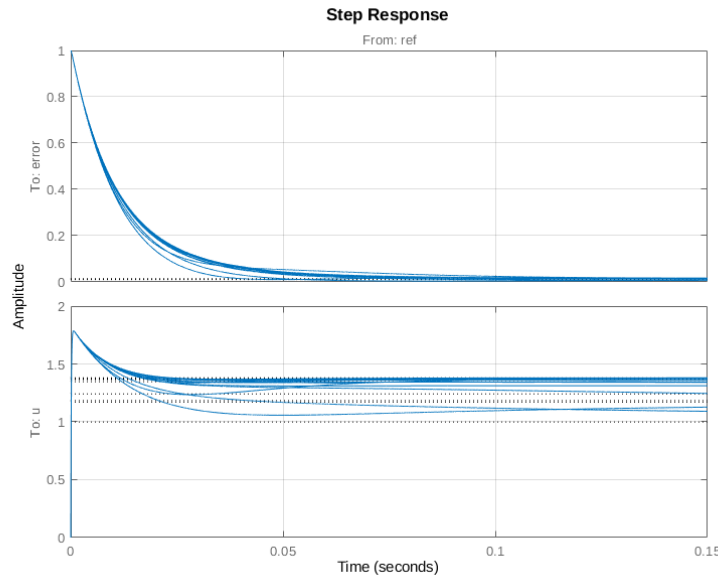


```
bodemag(CL_noponderado(2, :), tf(CotaU)), grid on, legend('acc. control','plantilla')
```



Y la respuesta temporal

```
step(CL_noponderado,.15), grid on
```



```
robstab(CL_no ponderado)
```

```
ans = struct with fields:
    LowerBound: 1.0336
    UpperBound: 1.0357
    CriticalFrequency: 70.4711
```

```
wcgain(CL_ponderado)
```

```
ans = struct with fields:
    LowerBound: 0.9955
    UpperBound: 0.9971
    CriticalFrequency: 392.5727
```

```
robgain(CL_ponderado,1)
```

```
ans = struct with fields:
    LowerBound: 1.0027
    UpperBound: 1.0047
    CriticalFrequency: 45.2581
```

## Conclusiones

Hemos modelado un sistema con incertidumbre pasiva. En la fase de modelado no importa cómo es la incertidumbre: se sustituye por una fuente de tensión ideal (entrada) y se despeja la intensidad que recorre dicha fuente como salida.

EL hecho de que sea "pasiva" se puede introducir en la Robust Control Toolbox. Internamente, la transforma a "contractiva" para sus operaciones y para  $\mu$ -síntesis.